

5. Impédances complexes des composants usuels

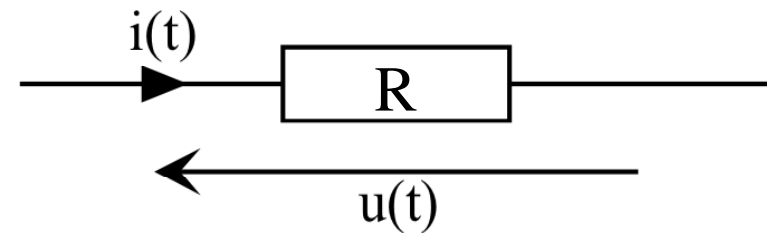
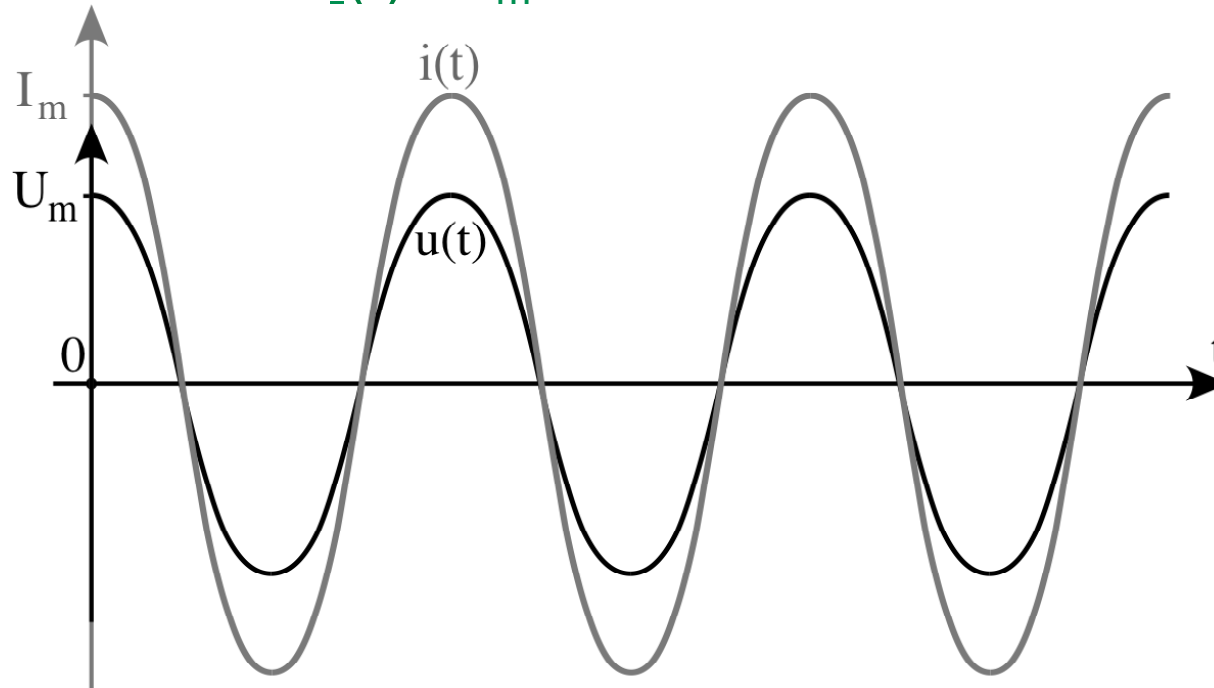
5.1. Impédance d'une résistance

$\underline{Z}_R = R$: réel pur

$\underline{u}(t) = R \underline{i}(t)$ (Loi d'Ohm)

Si : $\underline{u}(t) = U_m e^{j\omega t}$

Alors : $\underline{i}(t) = I_m e^{j\omega t}$



Avec : $I_m = U_m / R$

ou : $U_m = R I_m$

Et déphasage nul

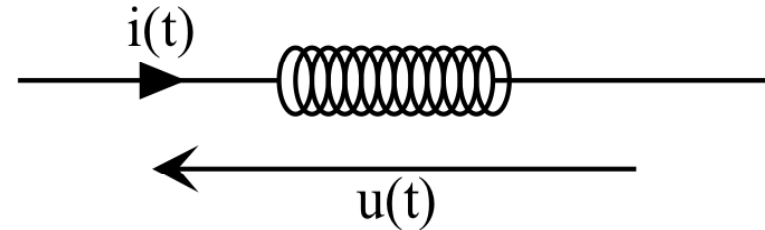
5.2. Impédance d'une bobine d'induction

$\underline{Z}_L = j L \omega$: imaginaire pur

$$\underline{u}(t) = \underline{Z}_L \underline{i}(t)$$

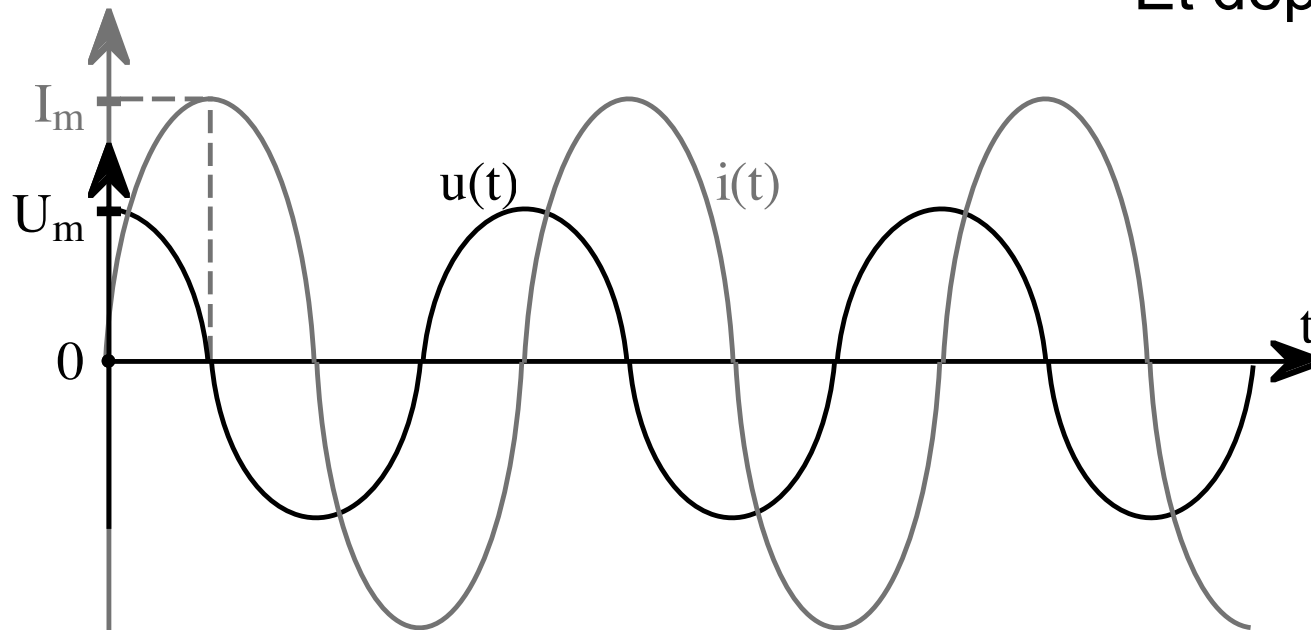
Si : $\underline{i}(t) = I_m \exp j(\omega t - \pi/2)$

Alors : $\underline{u}(t) = U_m \exp j(\omega t)$



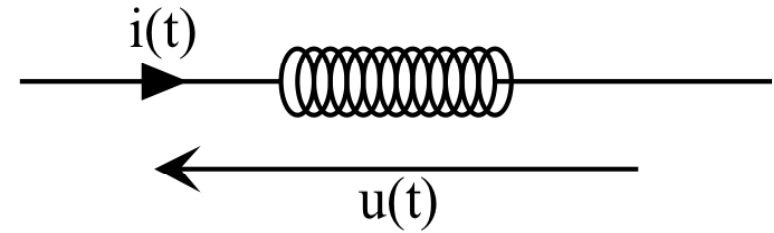
Avec : $U_m = L \omega I_m$

Et déphasage
de $\pi/2$

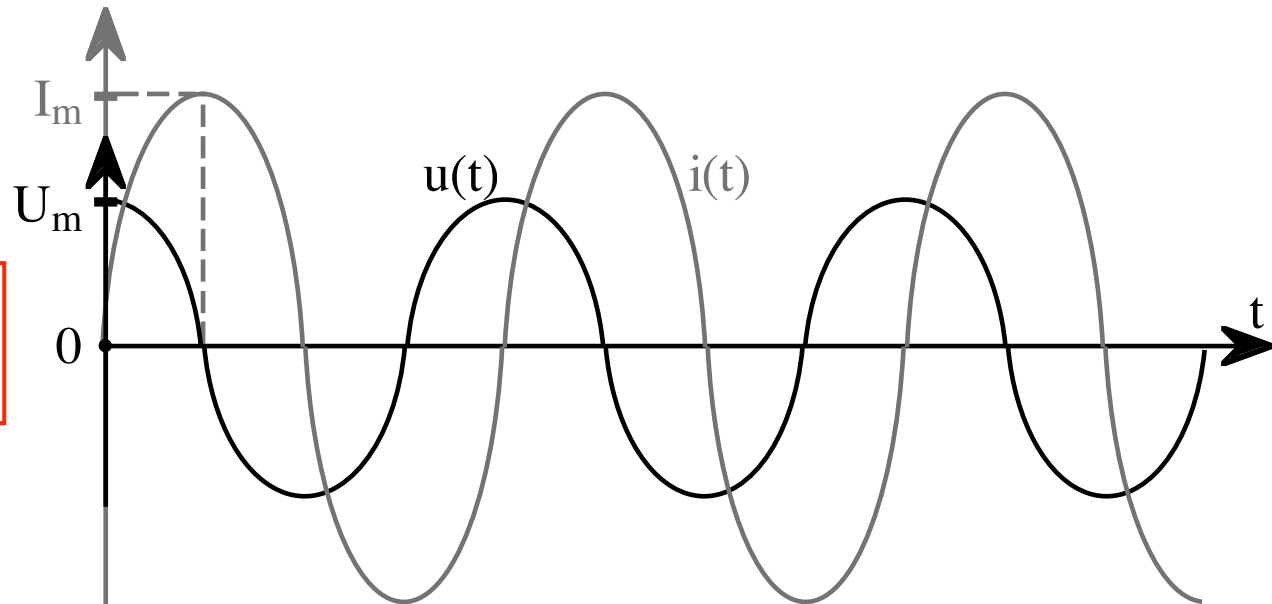


Si : $\underline{i}(t) = I_m \exp j(\omega t - \pi/2)$

Alors : $\underline{u}(t) = U_m \exp j(\omega t)$



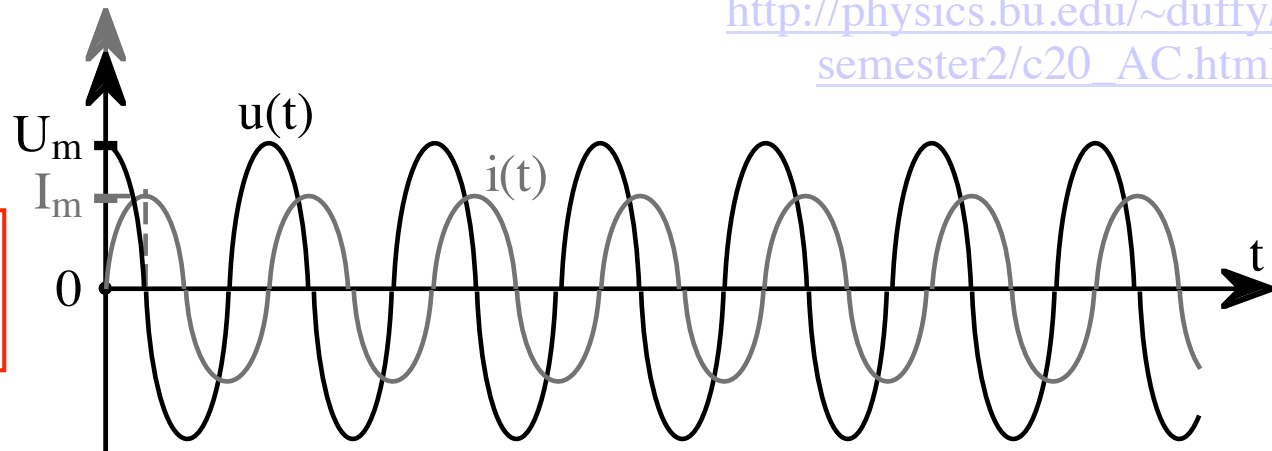
Fréquence f faible :
amplitude de $i(t)$ forte.



$$U_m = L\omega I_m$$

http://physics.bu.edu/~duffy/semester2/c20_AC.html

Fréquence f élevée :
amplitude de $i(t)$ faible.



5.3. Impédance d'un condensateur

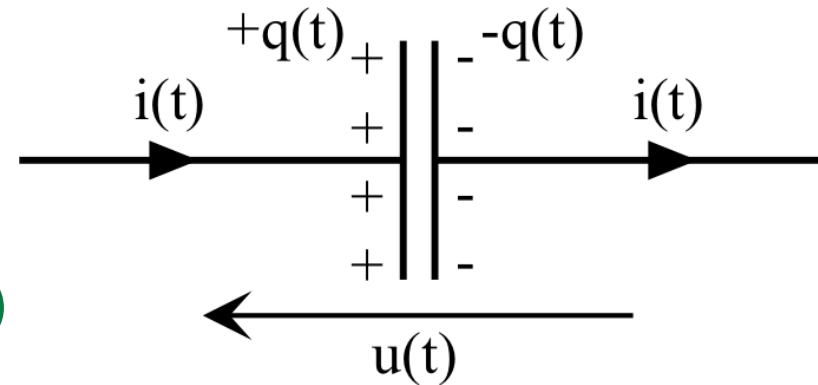
$$\underline{Z}_C = 1/jC\omega = (1/C\omega) \exp j(-\pi/2)$$

\underline{Z}_C est un imaginaire pur

$$\underline{u}(t) = \underline{Z}_C \underline{i}(t)$$

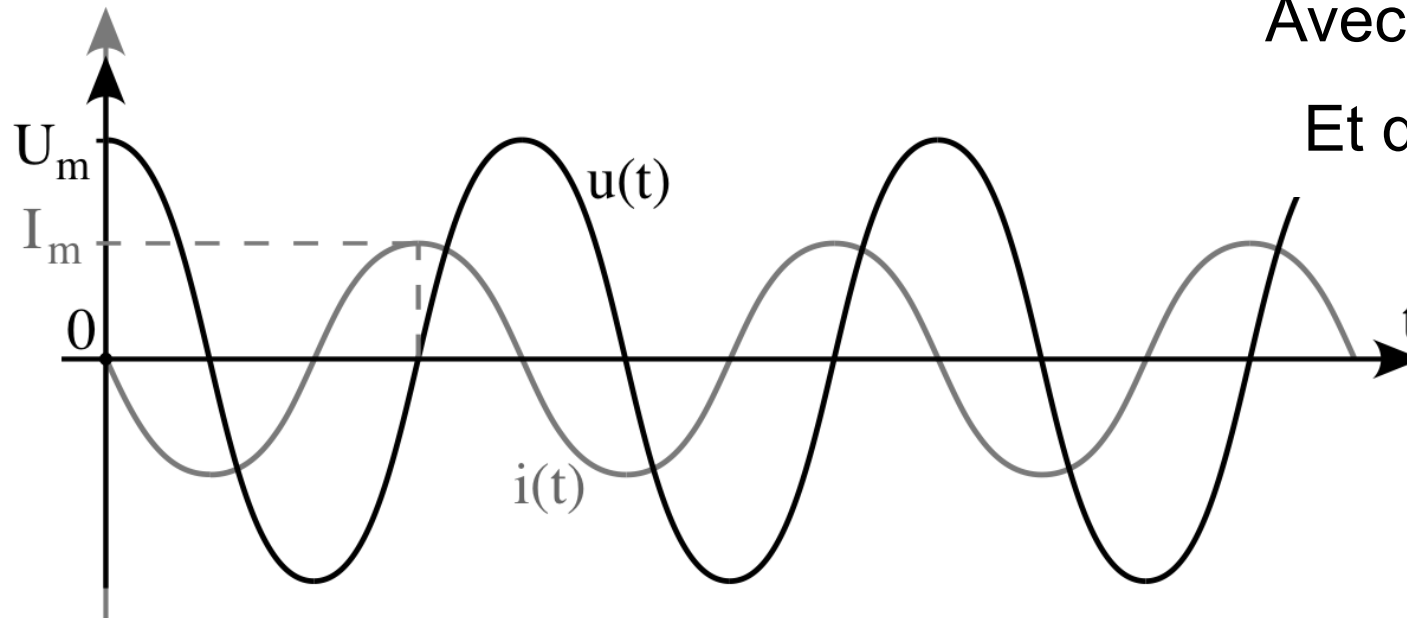
Si : $\underline{i}(t) = I_m \exp j(\omega t + \pi/2)$

Alors : $\underline{u}(t) = U_m \exp j(\omega t)$



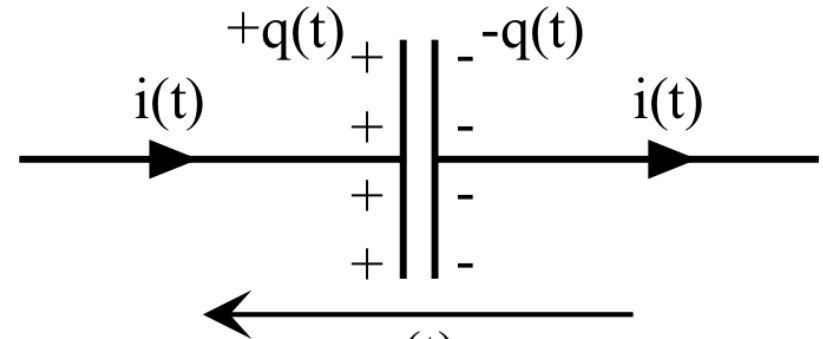
Avec : $U_m = I_m / C\omega$

Et déphasage de $-\pi/2$

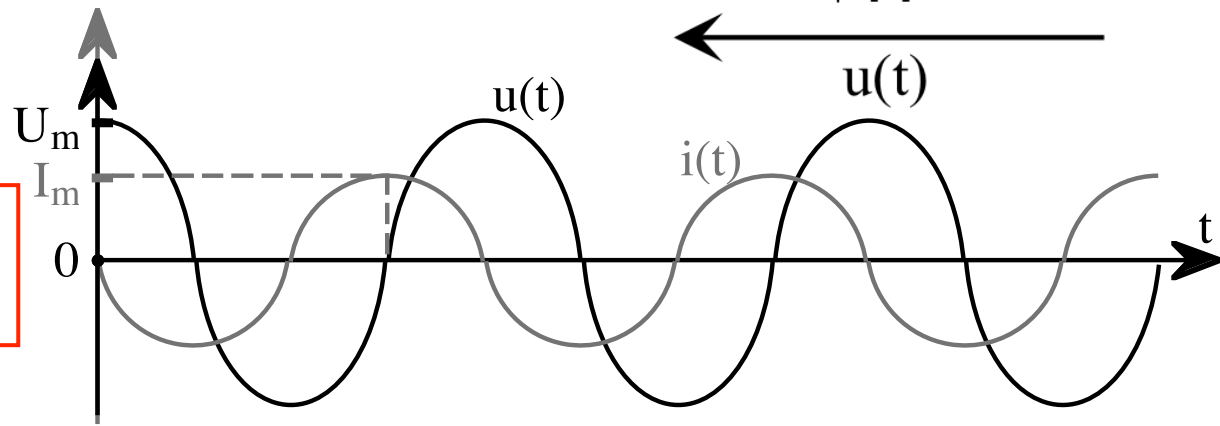


Si : $\underline{i}(t) = I_m \exp j(\omega t + \pi/2)$

Alors : $\underline{u}(t) = U_m \exp j(\omega t)$

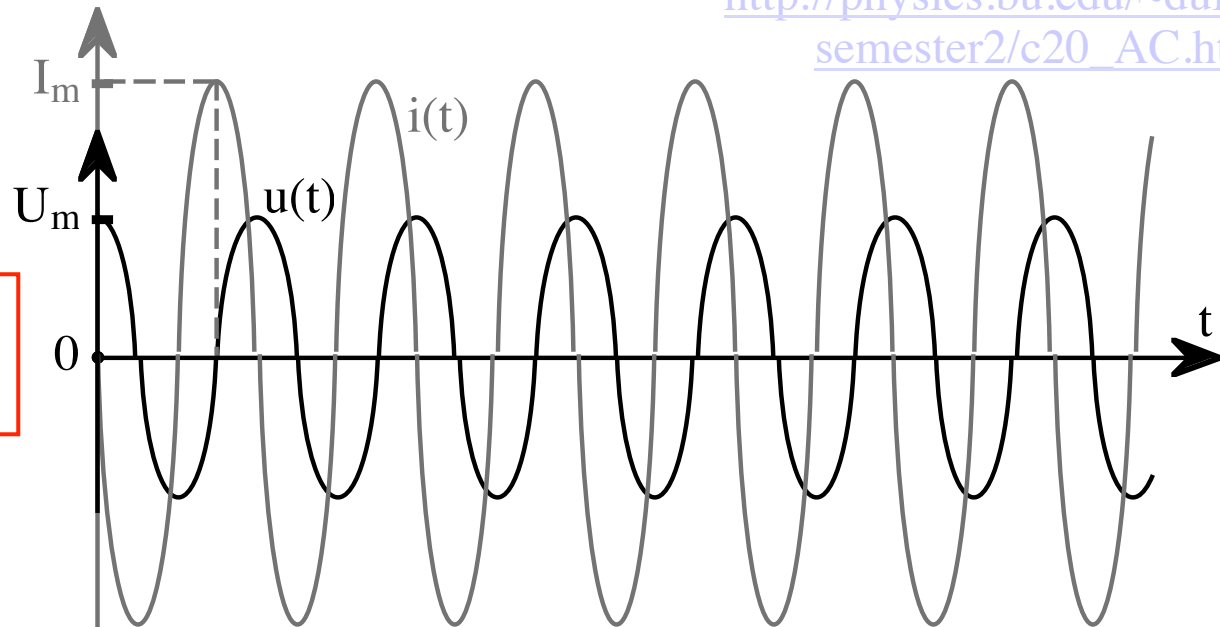


Fréquence f faible :
amplitude de $i(t)$ faible.



$$U_m = I_m / C\omega$$

Fréquence f élevée :
amplitude de $i(t)$ grande.

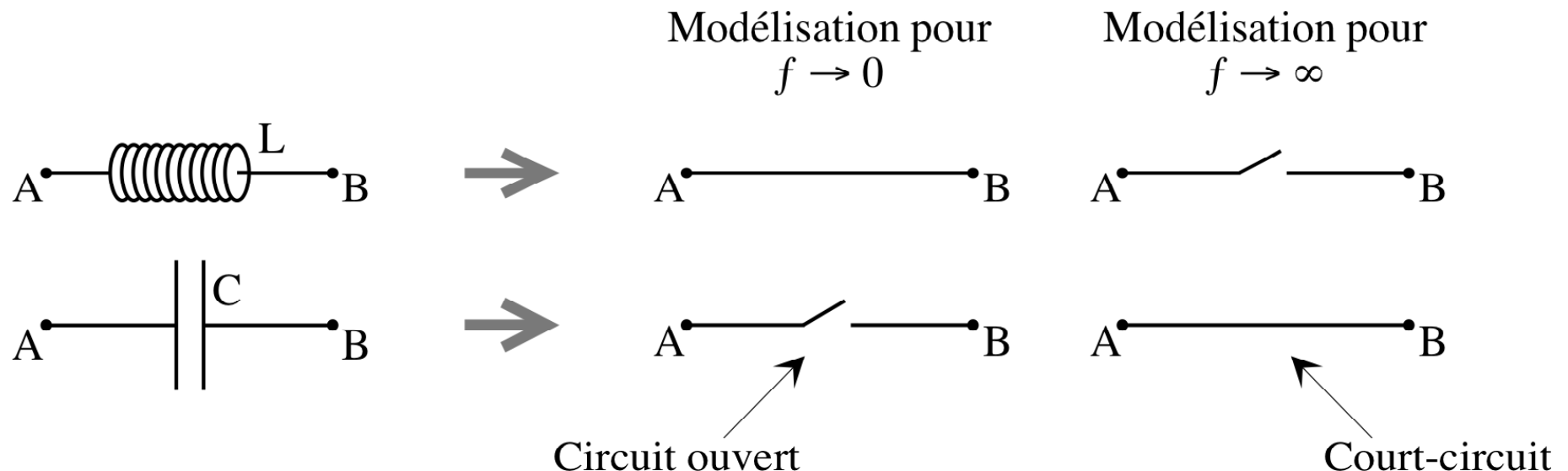


http://physics.bu.edu/~duffy/semester2/c20_AC.html

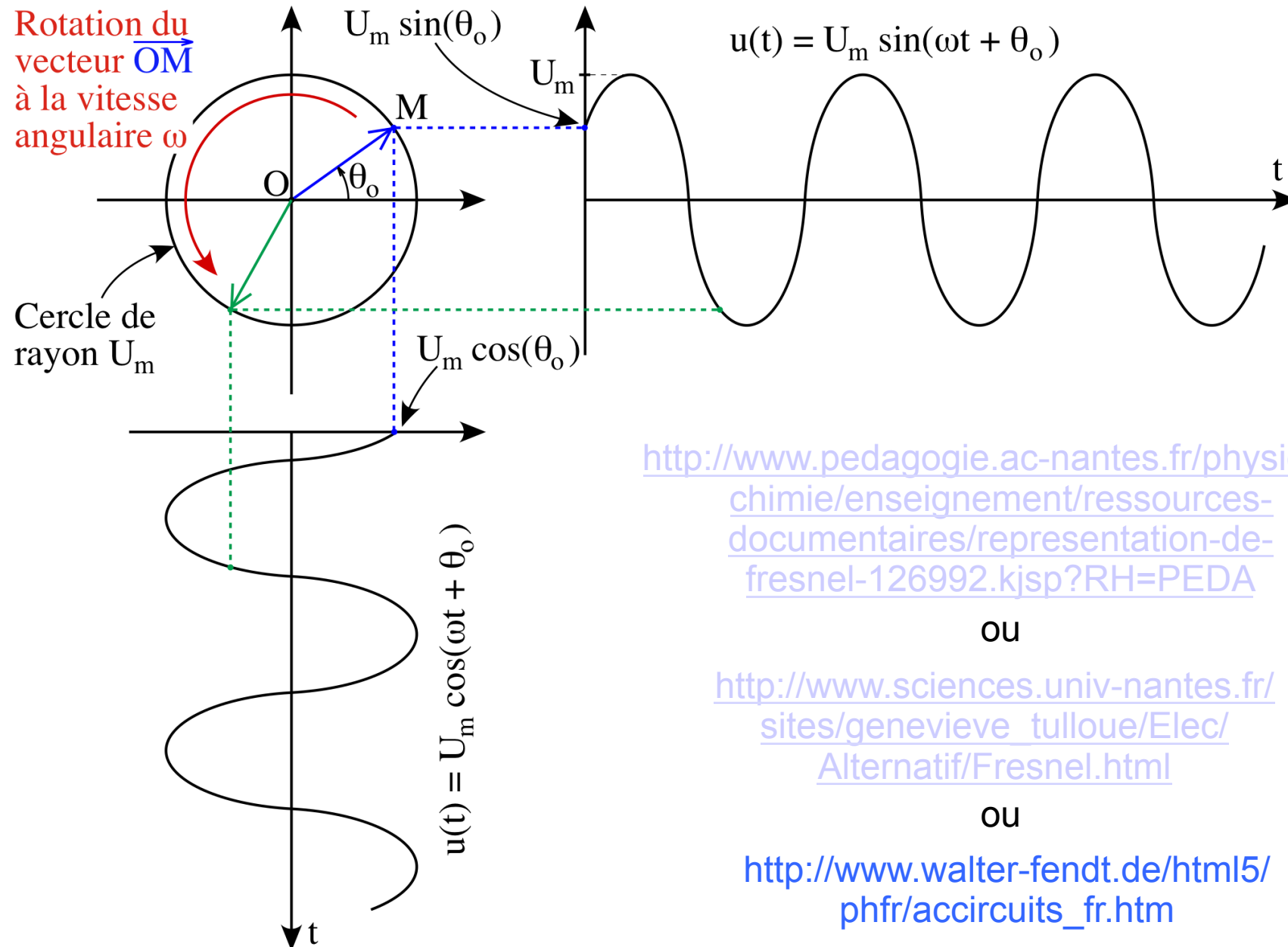
5.4. Modélisations à haute et basse fréquences

$$|Z_C| = 1/C\omega \text{ et } |Z_L| = L\omega$$

- Une **inductance** à basse fréquence se comporte comme un **court-circuit**, alors qu'à haute fréquence elle se comporte comme un **circuit ouvert**.
- Et inversement, à haute fréquence un **condensateur** se comporte comme un **court-circuit**, alors qu'à basse fréquence il se comporte comme un **circuit ouvert**.



6. Représentation de Fresnel 6.1. Principe de f^{nt}



<http://www.pedagogie.ac-nantes.fr/physique-chimie/enseignement/ressources-documentaires/representation-de-fresnel-126992.kjsp?RH=PEDA>

ou

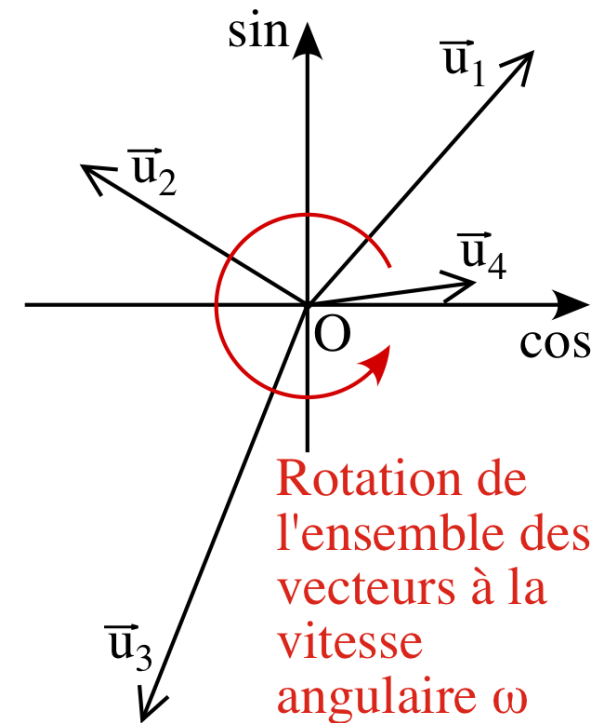
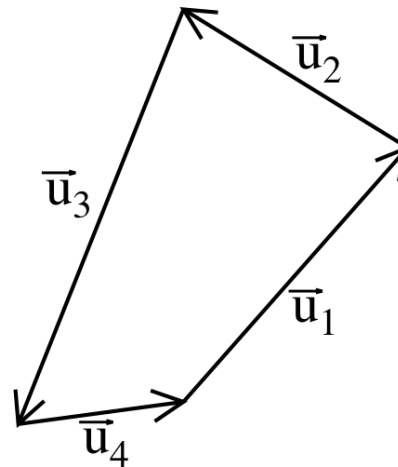
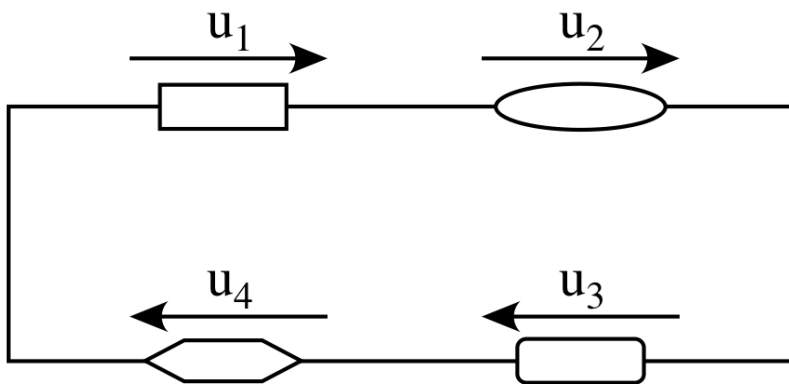
http://www.sciences.univ-nantes.fr/sites/genevieve_tulloue/Elec/Alternatif/Fresnel.html

ou

http://www.walter-fendt.de/html5/phfr/accircuits_fr.htm

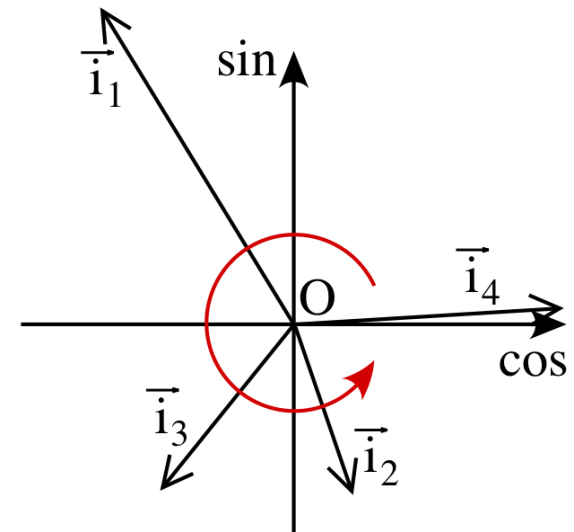
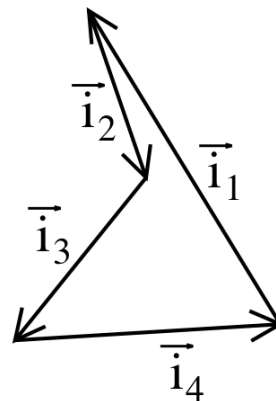
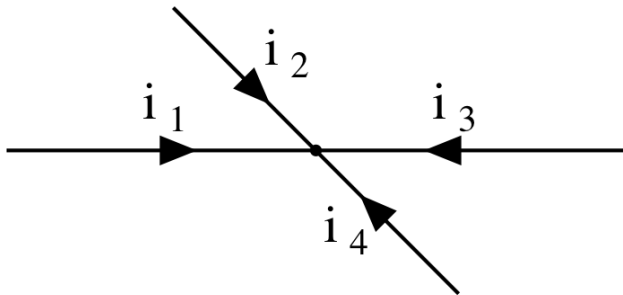
6.2. Loi des mailles et loi des nœuds

Loi des mailles : nullité de la somme des tensions dans une maille :



6.2. Loi des mailles et loi des nœuds

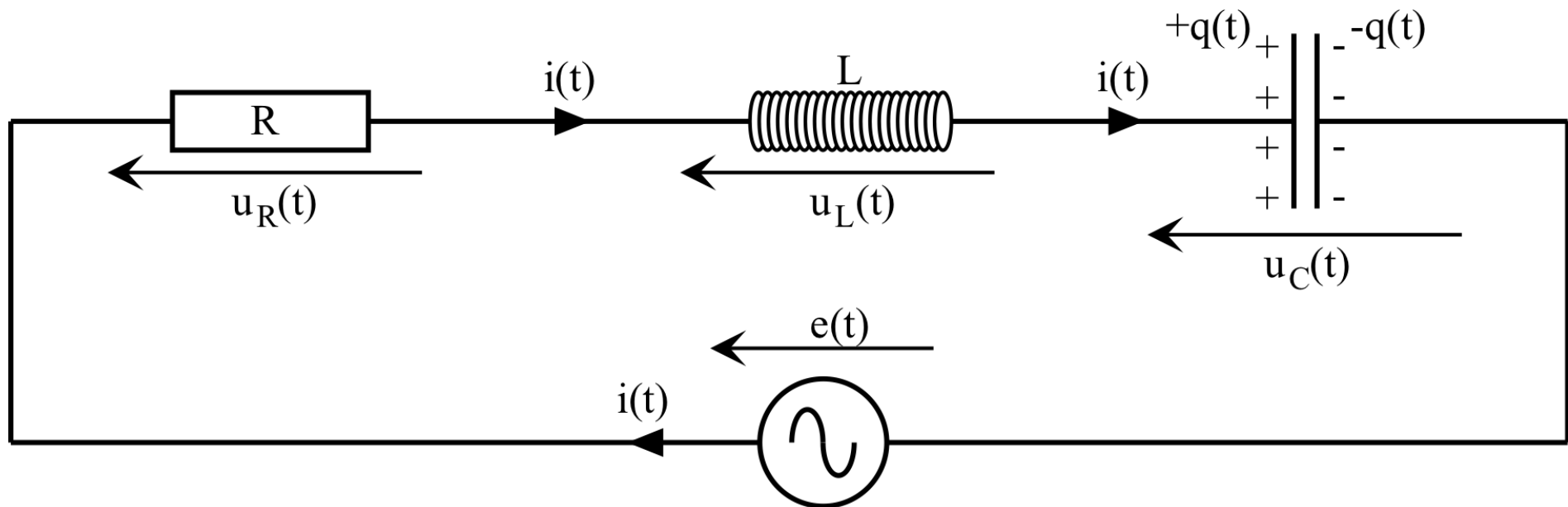
Loi des nœuds : nullité de la somme algébrique des courants arrivants dans un nœud :



Rotation de l'ensemble des vecteurs à la vitesse angulaire ω

7. Application à un circuit RLC série

7.1. Mise en équation sans les impédances complexes



7.2. Impédance complexe du circuit RLC

$$\underline{Z} = R + j\left(L\omega - \frac{1}{C\omega}\right) = R + j\left(\frac{LC\omega^2 - 1}{C\omega}\right)$$

Module :

$$|\underline{Z}| = \sqrt{R^2 + \left(L\omega - \frac{1}{C\omega}\right)^2}$$

Argument :

$$\operatorname{tg} \theta = \frac{LC\omega^2 - 1}{RC\omega} = \frac{L\omega - \frac{1}{C\omega}}{R}$$

7.3. Pulsation propre du circuit RLC

$$\omega = \omega_0 = \frac{1}{\sqrt{LC}}$$

Pour $\omega = \omega_0$ on a

- un minimum de $|\underline{Z}|$ et donc un maximum de I_m .
- $\text{tg } \theta = 0$ soit $\theta = 0$: pas de déphasage entre $u(t)$ et $i(t)$.

7.4. Limites basse et haute fréquences

$$\text{Si } \omega \ll \omega_0 \quad |\underline{Z}| = \sqrt{R^2 + \left(L\omega - \frac{1}{C\omega}\right)^2} \approx \frac{1}{C\omega}$$

$$\text{tg } \theta = \frac{L\omega - \frac{1}{C\omega}}{R} \approx \frac{-1}{RC\omega} \rightarrow -\infty \quad \text{Soit } \theta \rightarrow -\pi/2$$

→ Comportement capacitif.

$$\text{Si } \omega \gg \omega_0 \quad |\underline{Z}| = \sqrt{R^2 + \left(L\omega - \frac{1}{C\omega}\right)^2} \approx L\omega$$

$$\text{tg } \theta = \frac{L\omega - \frac{1}{C\omega}}{R} \approx \frac{L\omega}{R} \rightarrow \infty \quad \text{Soit } \theta \rightarrow +\pi/2$$

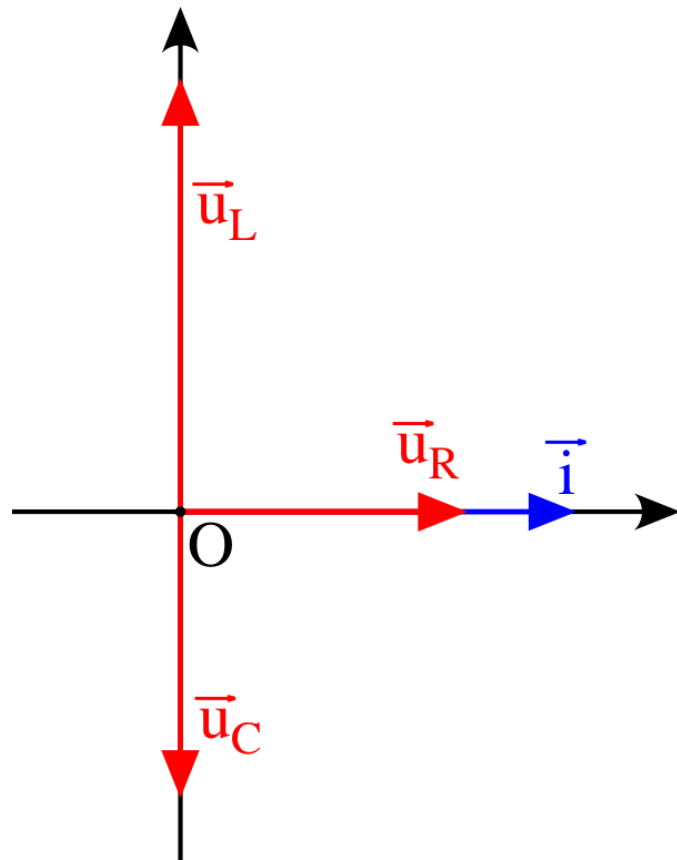
→ Comportement inductif.

7.5. Evolution des diverses grandeurs

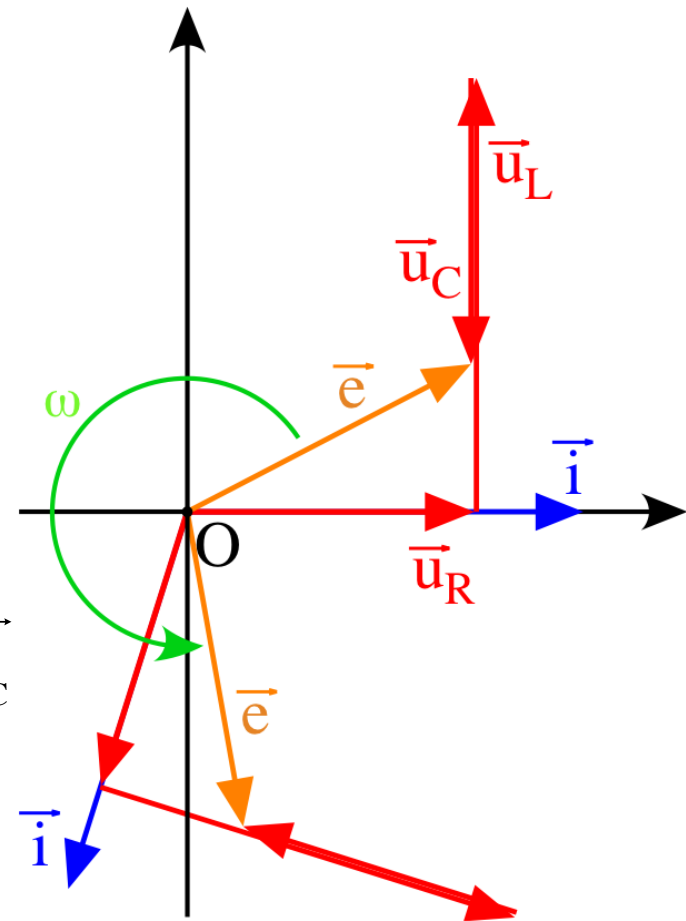
http://www.sciences.univ-nantes.fr/sites/genevieve_tulloue/Elec/Alternatif/transfert2RLC.html

7.6. Représentation de Fresnel

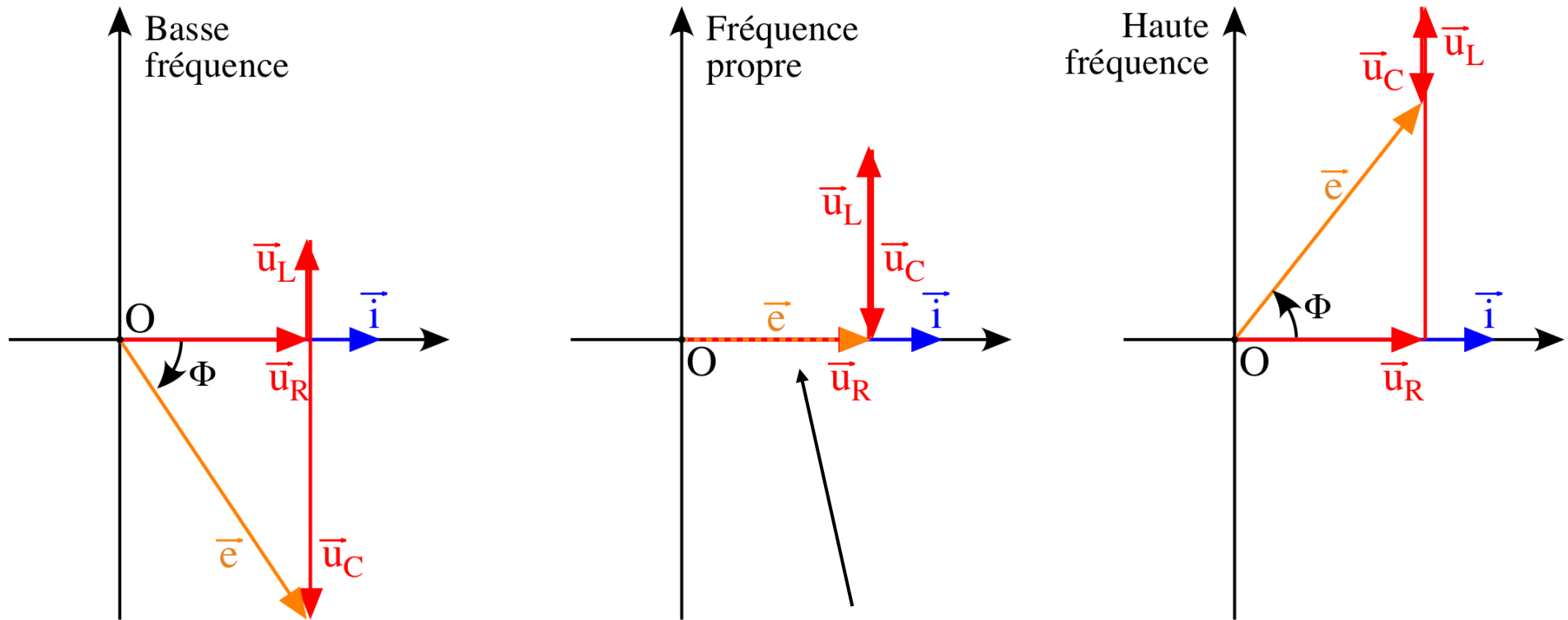
Somme vectorielle :



$$\vec{e} = \vec{u}_R + \vec{u}_L + \vec{u}_C$$

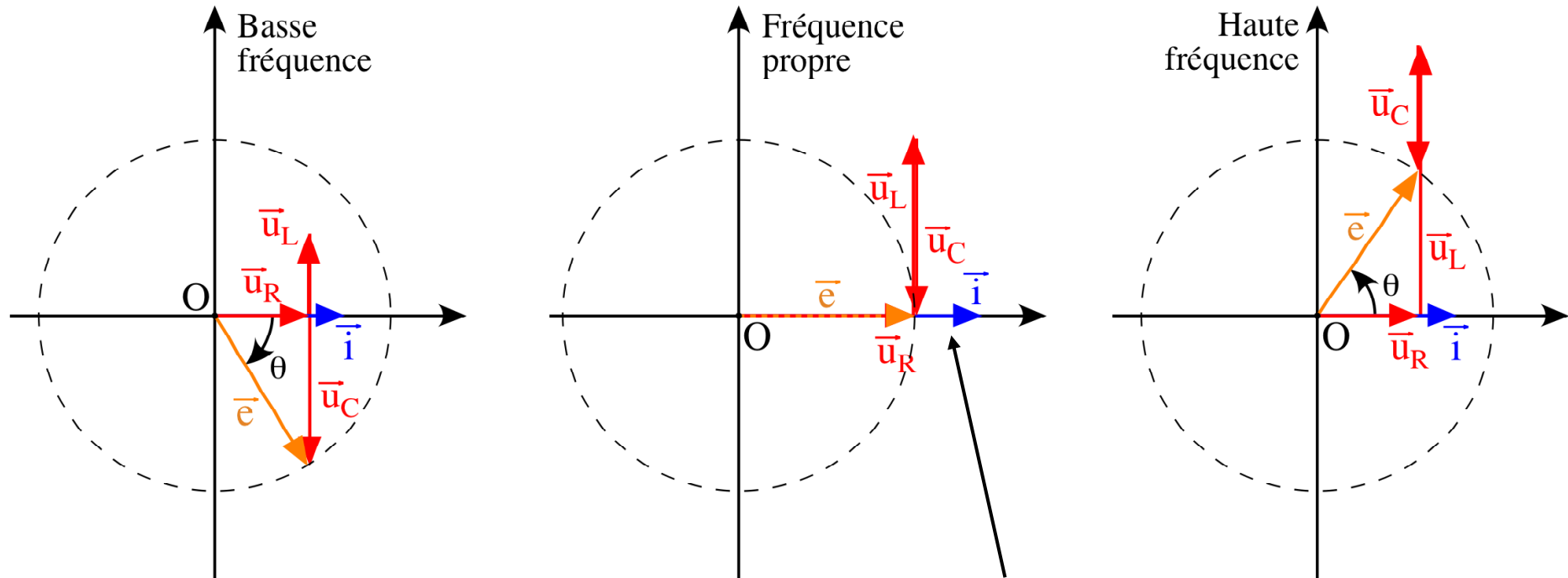


Limites des basse et haute fréquences à **courant fixé** :



Tension minimale
à courant fixé

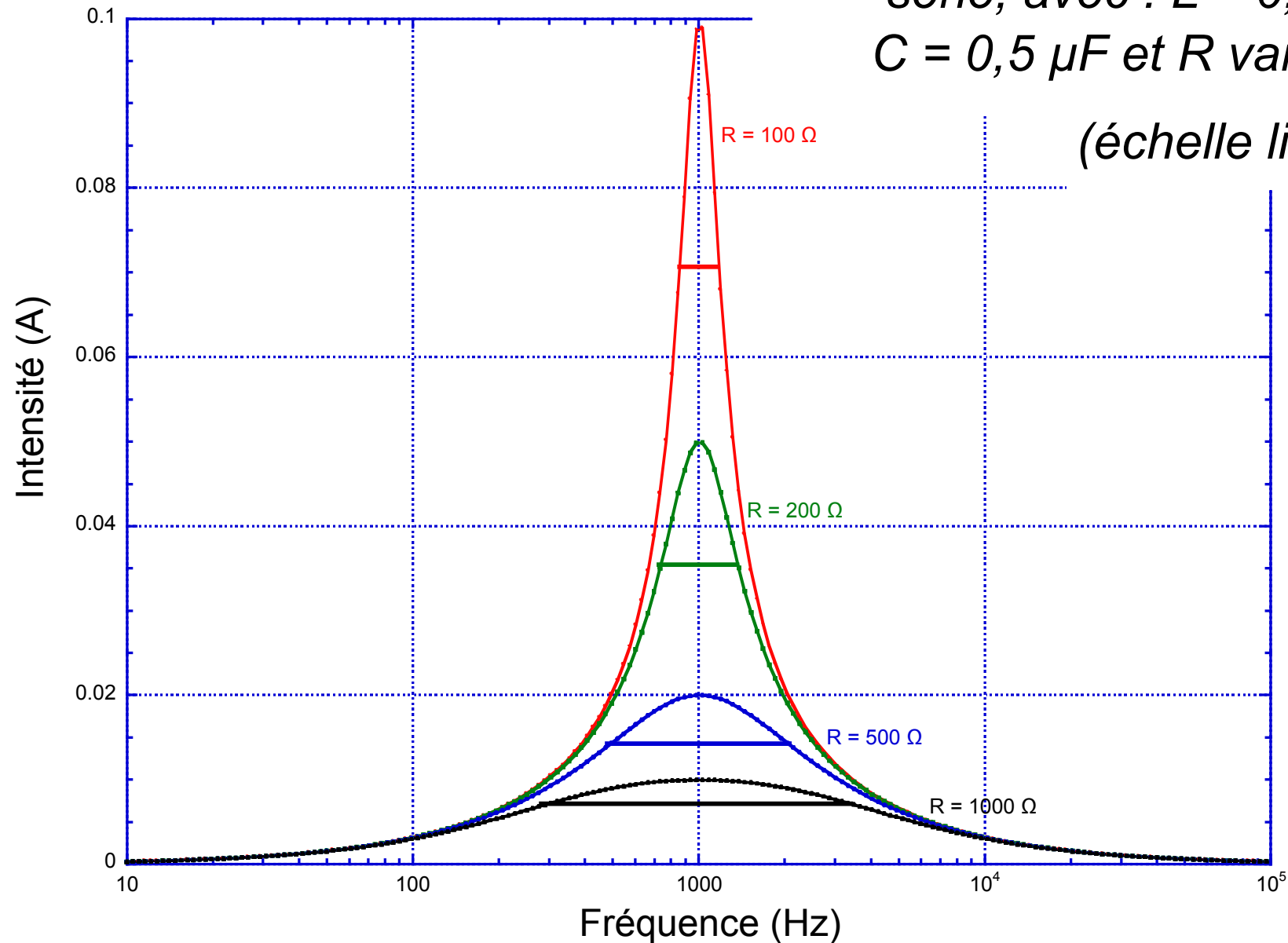
Limites des basse et haute fréquences à **tension fixée** :



Courant maximal
à tension fixée

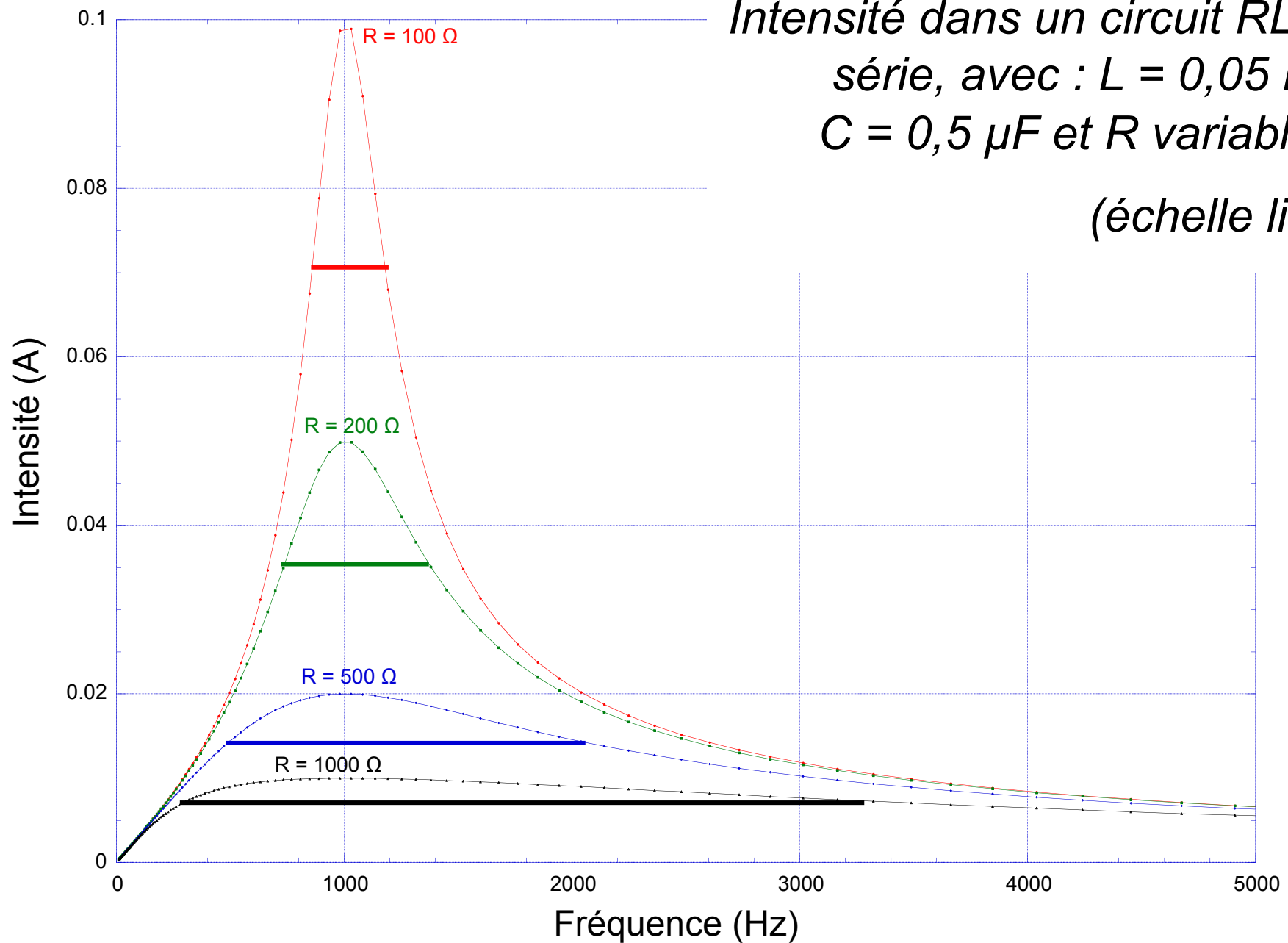
7.7. Résonance

*Intensité dans un circuit RLC
série, avec : $L = 0,05 \text{ H}$,
 $C = 0,5 \mu\text{F}$ et R variable.*



*Intensité dans un circuit RLC
série, avec : $L = 0,05 \text{ H}$,
 $C = 0,5 \mu\text{F}$ et R variable.*

(échelle lin)



Expressions du facteur de qualité :

$$Q = \frac{\omega_0}{\Delta\omega} = \frac{f_0}{\Delta f}$$

$$Q = \frac{\omega_0}{\Delta\omega} = \frac{\omega_0}{\omega_2 - \omega_1} = \frac{L\omega_0}{R} = \frac{1}{RC\omega_0} = \frac{1}{R} \sqrt{\frac{L}{C}}$$

ω_1 et ω_2 correspondent à $I = I_m / \sqrt{2}$

7.8. Facteur de surtension

Pour $\omega = \omega_0$ on a :

$$\frac{U_{C0}}{U_m} = \frac{1}{RC\omega_0} = Q$$

